

# 波动光学基础

## 光是电磁波

**电磁波的波源：**凡是做**加速运动**的电荷或电荷系都是发射电磁波的波源。加速运动的电荷在其周围空间产生**变化的电场**，变化的电场又产生**变化的磁场**，这种电场和磁场互相激发、由近及远地传播，就形成了电磁波。

**电磁波是横波**，是电场强度  $\boldsymbol{E}$  与磁场强度  $\boldsymbol{H}$  的矢量波。

$$\boldsymbol{E}(\boldsymbol{r}, t) = \boldsymbol{E}_0 \cos \omega \left( t - \frac{r}{u} \right)$$

$$\boldsymbol{H}(\boldsymbol{r}, t) = \boldsymbol{H}_0 \cos \omega \left( t - \frac{r}{u} \right)$$

- $\boldsymbol{E}(\boldsymbol{r}, t)$ : **电场强度矢量**，描述空间某点在某一时刻电场的强弱与方向
- $\boldsymbol{H}(\boldsymbol{r}, t)$ : **磁场强度矢量**，描述空间某点在某一时刻磁场的强弱与方向
- $\boldsymbol{r}$ : 从坐标原点到场点的**矢径**（位矢）
- $u$ : 电磁波在均匀介质中的**传播速率**

## 平面简谐电磁波的特性

1. **电磁波场矢量  $\boldsymbol{E}$  和  $\boldsymbol{H}$**  在同一地点同时存在，**相位相同**，并以相同的速度传播
2.  $\boldsymbol{E}$  和  $\boldsymbol{H}$  互相垂直，且两者都与波的传播方向（波速  $\boldsymbol{u}$  的方向）垂直， $\boldsymbol{E}$ ,  $\boldsymbol{H}$ ,  $\boldsymbol{u}$  三者满足**右手螺旋定则**
3. 在空间任意一点处， $\boldsymbol{E}$  和  $\boldsymbol{H}$  的**振幅在量值上满足关系**：

$$\sqrt{\varepsilon} E_0 = \sqrt{\mu} H_0$$

其中  $\varepsilon = \varepsilon_r \varepsilon_0$ ,  $\mu = \mu_r \mu_0$  分别是介质的总介电常数和总磁导率

4. 电磁波的传播速率  $u$  由介质的介电常数  $\varepsilon$  和磁导率  $\mu$  **共同决定**：

$$u = \sqrt{\frac{1}{\varepsilon \mu}}$$

 **提示：**

- 在**真空中**， $\varepsilon_r = 1$ ,  $\mu_r = 1$ ，电磁波的传播速率即为真空中的光速：

$$c = \frac{1}{\sqrt{\varepsilon_0 \mu_0}} \approx 2.9979 \times 10^8 \text{ m/s}$$

- $\epsilon_0$  是**真空介电常数**， $\mu_0$  是**真空磁导率**，都是基本物理常数
- $\epsilon_r$  是介质的**相对介电常数**（或称**介电常数**）， $\mu_r$  是介质的**相对磁导率**

5. 电磁波在两种不同介质的分界面上会发生**反射**和**折射**。电磁波在真空中的速率  $c$  与在某种介质中的速率  $u$  之比称为该介质的**绝对折射率**  $n$ （简称**折射率**）：

$$n = \frac{c}{u} = \sqrt{\epsilon_r \mu_r}$$

对于**非铁磁性介质**， $\mu_r \approx 1$ ，因此折射率  $n$  可近似为：

$$n \approx \sqrt{\epsilon_r}$$

## 光是电磁波

- **可见光**的波长范围为 **0.4 ~ 0.76  $\mu\text{m}$** （微米）
- 对应的频率范围为  **$7.5 \times 10^{14} \text{ Hz} \sim 3.9 \times 10^{14} \text{ Hz}$**
- 引起视觉和光化学效应的是光波中的**电场矢量  $E$**
- 由于带电粒子受电场的作用力远大于磁场作用力，因此常将  $E$  矢量称为**光矢量**
- 光强通常用  $E$  表示而不用  $H$

## 光源与光波的叠加

### 光源

**光源**：指发光的物体。任何发光过程都伴随着物体内部的能量变化。

**发光机理**：当原子或分子从**高能态**跃迁到**低能态**时，如果能量以光的形式释放，物体就会发光。

**常见发光过程**：

- **热辐射**：物体因加热而发光（如白炽灯）
- **电致发光**：电能直接转换为光能（如LED、气体放电）
- **光致发光**：物质吸收光子后重新辐射出光（如荧光、磷光）
- **化学发光**：化学反应过程中产生的光（如萤火虫）

光源发出的光是大量**简谐波**的叠加，这些光波的**频率**和**振幅**通常各不相同。

### 光波的叠加

#### 干涉现象

当两束光波满足以下**相干条件**时：

1. 频率相同
2. 振动方向平行
3. 相位差恒定

在光波重叠区域会出现：

- 某些点合成光强**大于**分光强之和
- 某些点合成光强**小于**分光强之和
- 形成明暗相间、稳定分布的**干涉条纹**

这种叠加称为**相干叠加**，满足条件的光称为**相干光**。

## 数学描述

设两光波在  $P$  点的振动方程为：

$$E_1 = E_{01} \cos(\omega_1 t - \frac{\omega_1 r_1}{u} + \varphi_1)$$

$$E_2 = E_{02} \cos(\omega_2 t - \frac{\omega_2 r_2}{u} + \varphi_2)$$

$P$  点的合光矢量  $\mathbf{E}_P$  为：

$$\mathbf{E}_P = \mathbf{E}_1 + \mathbf{E}_2$$

合振动的光强  $I_P$  与合振幅的平方成正比，即：

$$\begin{aligned} I_P &\propto E_P^2 = (\mathbf{E}_1 + \mathbf{E}_2)^2 \\ &= E_1^2 + E_2^2 + 2\mathbf{E}_1 \cdot \mathbf{E}_2 \end{aligned}$$

对时间求平均后，得到合成光强：

$$I_P = I_1 + I_2 + 2\langle \mathbf{E}_1 \cdot \mathbf{E}_2 \rangle$$

其中第三项  $2\langle \mathbf{E}_1 \cdot \mathbf{E}_2 \rangle$  称为**干涉项**，决定了两光波叠加的性质。

### 干涉项 $\langle \mathbf{E}_1 \cdot \mathbf{E}_2 \rangle$ 的展开

两项点积的结果为：

$$\begin{aligned} \mathbf{E}_1 \cdot \mathbf{E}_2 &= E_{01} E_{02} \cos(\omega_1 t + \alpha_1) \cos(\omega_2 t + \alpha_2) \\ &= \frac{1}{2} E_{01} E_{02} \{ \cos[(\omega_1 + \omega_2)t + (\alpha_1 + \alpha_2)] + \cos[(\omega_1 - \omega_2)t + (\alpha_1 - \alpha_2)] \} \end{aligned}$$

其中  $\alpha_1 = -\frac{\omega_1 r_1}{u} + \varphi_1$ ,  $\alpha_2 = -\frac{\omega_2 r_2}{u} + \varphi_2$ 。

对时间求平均：

$$\langle \mathbf{E}_1 \cdot \mathbf{E}_2 \rangle = \frac{1}{2} E_{01} E_{02} \langle \cos[(\omega_1 + \omega_2)t + (\alpha_1 + \alpha_2)] \rangle + \frac{1}{2} E_{01} E_{02} \langle \cos[(\omega_1 - \omega_2)t + (\alpha_1 - \alpha_2)] \rangle$$

## 叠加类型分析

### 1. 非相干叠加（干涉项为零）：

- 当  $\mathbf{E}_1 \perp \mathbf{E}_2$  时,  $\langle \mathbf{E}_1 \cdot \mathbf{E}_2 \rangle = 0$
- 当  $\omega_1 \neq \omega_2$  时,  $\langle \mathbf{E}_1 \cdot \mathbf{E}_2 \rangle = 0$
- 当  $\omega_1 = \omega_2$  但相位差  $(\varphi_1 - \varphi_2)$  不恒定, 时间平均  $\langle \mathbf{E}_1 \cdot \mathbf{E}_2 \rangle = 0$

此时合成光强为两光强直接相加：

$$I_P = I_1 + I_2$$

### 2. 相干叠加：

当满足相干条件时, 干涉项不为零。设  $\omega_1 = \omega_2 = \omega$ , 相位差  $\Delta\varphi$  恒定：

$$I_P = I_1 + I_2 + 2\sqrt{I_1 I_2} \cos(\Delta\varphi)$$

其中相位差：

$$\Delta\varphi = \varphi_2 - \varphi_1 + \frac{\omega}{c}(r_1 - r_2)$$

- 当  $\Delta\varphi = \pm 2k\pi$  ( $k = 0, 1, 2, \dots$ ) 时,  $\cos(\Delta\varphi) = 1$ , 出现**明条纹**：

$$I_{\max} = I_1 + I_2 + 2\sqrt{I_1 I_2}$$

- 当  $\Delta\varphi = \pm(2k + 1)\pi$  ( $k = 0, 1, 2, \dots$ ) 时,  $\cos(\Delta\varphi) = -1$ , 出现**暗条纹**：

$$I_{\min} = I_1 + I_2 - 2\sqrt{I_1 I_2}$$

- 特别地, 当  $I_1 = I_2 = I_0$  时：

$$I_{\max} = 4I_0, \quad I_{\min} = 0$$

干涉条纹对比度最大, 效果最明显。

通常取可见度 $\eta$ 作为条纹清晰度的量度：

$$\eta = \frac{I_{max} - I_{min}}{I_{max} + I_{min}}$$

可以看出，当 $I_{min}=0$ (暗纹全暗)时， $\eta=1$ ，此时条纹最清晰；当 $I_{min} \rightarrow I_{max}$ 时， $\eta \rightarrow 0$ ，条纹模糊不清。

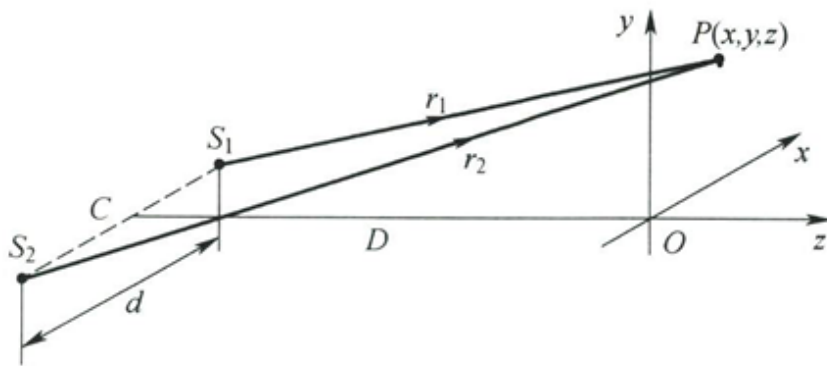
总结：

干涉项不为零时，光波的叠加称为相干叠加，产生稳定的干涉图样

两束光产生干涉的条件（称为相干条件有：

- 频率相同
- 相位差恒定
- 光矢量振动方向平行

## 获得相干光的方法 杨氏实验



- $S_1 S_2 = d$ : 双缝间距
- $D$ : 双缝到屏幕的距离
- $D \gg d$ : 实现近似计算的关键条件
- $P$ : 屏上任意一点，坐标为  $(x, y)$
- $r_1, r_2$ : 分别表示  $S_1, S_2$  到  $P$  点的距离

根据几何关系：

$$r_1^2 = D^2 + \left(x - \frac{d}{2}\right)^2$$

$$r_2^2 = D^2 + \left(x + \frac{d}{2}\right)^2$$

两式相减：

$$r_2^2 - r_1^2 = (r_2 - r_1)(r_2 + r_1) = 2xd$$

波程差表达式：

$$\delta = r_2 - r_1 = \frac{2xd}{r_2 + r_1}$$

利用近似条件  $D \gg d$ :

$$r_2 + r_1 \approx 2D$$

得到波程差的近似表达式：

$$\delta = \frac{xd}{D}$$

相应的两相干波在P点相位差为

$$\Delta\varphi = \varphi_1 - \varphi_2 + \frac{\omega}{c}\delta$$

由实验条件知  $\varphi_1 = \varphi_2$ , 以  $\nu$  表示单色光频率,  $\lambda$  表示与其对应的波长, 则  $\omega = 2\pi\nu$ ,  $\frac{\omega}{c} = 2\pi\frac{\nu}{c} = 2\pi\frac{1}{\lambda}$ , 可得两相干波在 P 点的相位差:

$$\Delta\varphi = \frac{2\pi}{\lambda}\delta = \frac{2\pi}{\lambda} \cdot \frac{xd}{D}$$

当

$$\delta = \frac{xd}{D} = \pm 2k \cdot \frac{\lambda}{2}, k = 0, 1, 2, 3, \dots$$

或

$$x = \pm 2k \frac{D\lambda}{2d}$$

此时, P 点的光强极大, 形成明条纹。

当

$$\delta = \frac{xd}{D} = \pm (2k + 1) \frac{\lambda}{2}, k = 0, 1, 2, 3, \dots$$

或

$$x = \pm (2k + 1) \frac{D\lambda}{2d}$$

此时，P点的光强极小，形成暗条纹

条纹的位置只与x有关，条纹的走向是平行于y轴的。

- 屏上相邻明条纹或相邻暗条纹间距为

$$\Delta x = \frac{D\lambda}{d}$$

由于光的波长 $\lambda$ 值很小，只有 $d$ 足够小而 $D$ 足够大，使得干涉条纹间距 $\Delta x$ 大到可以分辨，才会观察到干涉条纹。对一定波长 $\lambda$ 的单色光，相邻条纹间距相等。

- 对入射的单色光，若已知 $d$ 和 $D$ 值，可以测处 $k$ 级条纹与中央明条纹的距离而算出单色光的波长 $\lambda$ 值
- 若 $d$ 与 $D$ 保持不变， $\Delta x$ 正比于波长 $\lambda$ ，波长大的相邻条纹间距大，波长小的相邻条纹间距小。

**总结：**

**明纹条件（相长干涉）：**

$$\delta = \pm k\lambda \quad (k = 0, 1, 2, \dots)$$

$$\frac{xd}{D} = \pm k\lambda$$

明纹位置：

$$x = \pm k \frac{D\lambda}{d}$$

**暗纹条件（相消干涉）：**

$$\delta = \pm(2k + 1) \frac{\lambda}{2} \quad (k = 0, 1, 2, \dots)$$

$$\frac{xd}{D} = \pm(2k + 1) \frac{\lambda}{2}$$

暗纹位置：

$$x = \pm(2k + 1) \frac{D\lambda}{2d}$$

## 1. 条纹间距

相邻明纹或相邻暗纹的间距：

$$\Delta x = \frac{D\lambda}{d}$$

## 2. 波长测量

通过测量条纹间距可计算波长：

$$\lambda = \frac{d}{D} \Delta x$$

## 3. 波长与条纹关系

- $\Delta x \propto \lambda$ ：波长越大，条纹间距越宽
- 白光照射时产生彩色条纹（紫光在内，红光在外）
- 中央明纹（ $k=0$ ）为白色

## 4. 装置参数影响

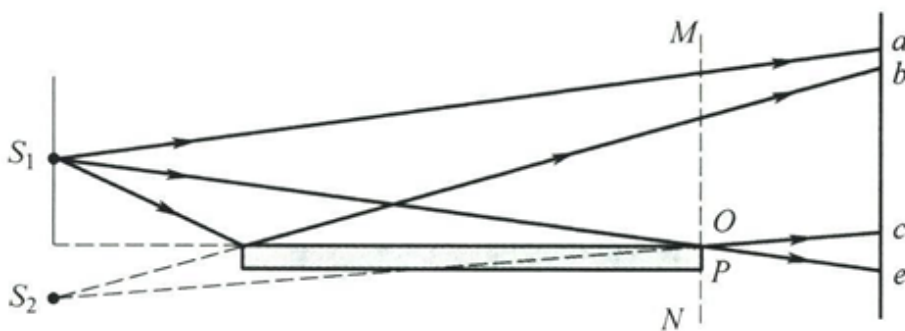
- $\Delta x \propto D$ ：屏幕越远，条纹越疏
- $\Delta x \propto \frac{1}{d}$ ：缝距越小，条纹越疏

杨氏双缝实验首次在实验上证实了：

- 光的波动性
- 光的干涉现象
- 提供了一种精确测量光波波长的方法
- 为光的波动说奠定了实验基础

**提示：**实际实验中，为了获得清晰的干涉条纹，需要保证  $D \gg d$  的条件成立，通常  $d$  约为 0.1mm 量级， $D$  约为 1m 量级。

# 劳埃德镜



## 实验装置与构造

根据图示，劳埃德镜实验装置包含：

- **劳埃德镜：**一块下表面涂黑的平玻璃片或金属平板
- **光源：**狭缝  $S_1$
- **反射面：**光线以掠入射角（近90°的入射角）入射
- **虚光源：**反射光如同从  $S_1$  的虚像  $S_2$  发出



- **观测屏**：接收干涉条纹，特别关注与镜面边缘接触的区域

## 实验原理与干涉机制

$S_1$  和  $S_2$  形成一对**相干光源**，它们发出的光在屏上（bc区）相遇，产生明暗相间的干涉条纹。

**波程差计算：**

设  $S_1S_2 = d$ （等效双光源间距）， $D$  为光源到屏幕的距离

屏上任意点 P 的波程差：

$$\delta = \frac{xd}{D}$$

**干涉条件：**

- 明纹条件： $\delta = \pm k\lambda$  ( $k = 0, 1, 2, \dots$ )
- 暗纹条件： $\delta = \pm(2k + 1)\frac{\lambda}{2}$  ( $k = 0, 1, 2, \dots$ )

## 关键现象：半波损失的实验证据

**实验发现：**

当屏移到与平面镜边缘接触处（图中接触点）：

- 理论计算：波程差为零，应出现**明条纹**
- 实际观测：却出现**暗条纹**
- 所有条纹的明暗情况都与理论预期相反

**物理解释：**

这是由于光从**光疏介质射向光密介质**（空气→玻璃）在分界面反射时，发生了**相位差  $\pi$  的突变**，等效于反射光的波程附加了半个波长：

$$\delta_{\text{实际}} = \frac{xd}{D} + \frac{\lambda}{2}$$

因此在接触点处：

$$\delta_{\text{实际}} = \frac{\lambda}{2}$$

正好满足暗纹条件，完美解释了实验现象。

## 实验设计的关键要点

采用**掠入射**形式的两个重要原因：

1. **保证相位改变  $\pi$** : 确保发生半波损失现象
2. **获得相近振幅**: 使反射光与直射光具有相近的振幅, 从而获得清晰、对比度高的干涉条纹

💡 **理论说明**: 这两点的严格理论证明超出了基础教材的范围, 但实验现象明确证实了其正确性。

## 重要结论与物理意义

1. **证实半波损失**: 为光的电磁理论提供了关键实验证据
2. **验证相位突变**: 证实光在光密介质反射时会发生  $\pi$  的相位跃变
3. **波动性验证**: 进一步证实了光的波动性质
4. **实验方法价值**: 提供了一种简单有效的获得相干光的方法

### 实践提示:

- 在计算光波叠加时, 若存在半波损失, 必须计入附加的  $\frac{\lambda}{2}$  波程差
- 忽略半波损失会导致与实际情况完全相反的结果
- 劳埃德镜实验装置简单, 但现象明显, 是演示光干涉和半波损失的经典实验